

構造物基礎の非線形水平地盤反力について

京都大学工学部 後藤尚男, 京都大学工学部 ○吉原 進
京都大学大学院 北浦 勝, 京都大学大学院 宮脇幸治郎

1. はじめに 地盤中に根入れられた構造物基礎の振動特性を解析するためには、従来から種々の手法が取られてきたが、そのどれも一長一短があり、現在のところまだ決定的な手法はないようである。何より地盤係数なる考え方とともに地盤の弾性効果をばねに置換する方法もこれらの中の一つであり、いろいろの問題を抱えながらも解析の簡便さという点でしがしば利用されていふのが現状であろう。この地盤係数を用いる方法につけても、半無限弾性理論を適用する方法やその他の考え方があり、とくに地表面上に設置された構造物基礎の上下あるいは回転振動については多くの研究が行なわれてゐるが、地盤中に根入れられた構造物基礎の水平方向の地盤係数につけては、信頼できず研究成果があまり多く提供されていよいよある。そこで本研究にありては地盤中に根入れられた剛な構造物基礎の水平方向の地盤反力を室内実験から求めて検討すると同時に、従来から用いられてゐる地盤係数につけてその非線形部分を考慮に入れて考案を加えた。しかも後この構造物基礎の周波数応答をもめて実験結果と比較しようとしたものである。

2. 実験より求めた地盤反力

実験装置および実験方法に関するところは、すでに発表したものとほとんど同様であるので省略する。用いた模型も既に用いたものと同一である。厚さ20mmの鋼板製(重量5kg)で、その下部にヒンジを設けたものである。模型地盤は京都市内伏見産の筋粘土を含水比約40%で練り混ぜたものを均等に十分練め固めて用いた。模型の根入長は200mmといた。使用した計測器その他も先のものと同一である。

模型側面に働く振動土圧やあるいはこの底部ヒンジまわりのモーメント M_0 と基礎模型の回転角(以後基礎体回転角といふ)との関係を示したのが図-1である。これによると振動土圧は基礎体回転角に対しても直線関係にあるが、二つの直線よりなるハイドリック型の関係にあることをみることもできる。さらにその非線形性をみると、いずれの測定位置でも基礎体回転角が比較的小さい時に生じており、この場合には P_s を除いては直線比例関係にある。つぎに図-2には振動土圧の深さ方向の分布を示したが、乾燥砂につけての報告と異なり地表面近くでもかなりの振動土圧が生じていることがわかる。一方図-3は

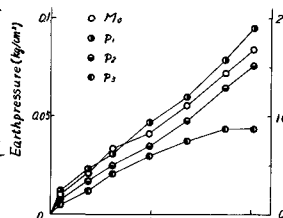


図-1 振動土圧とそのモーメント

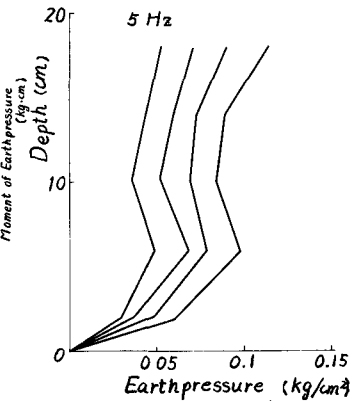


図-2 振動土圧分布

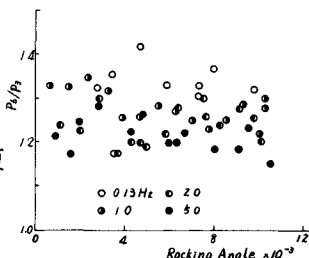


図-3 振動土圧の水平方向分布を表す指標 P_0/P_3

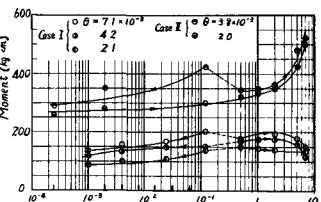


図-4 振動土圧モーメントの振動数特性

振動工圧の水平方向の分布を表す一つの指標として、 P_0/p_3 (P_0 , p_3 の測定位置は前報を参照) と基礎体回転角との関係を示したものである。これによると P_0/p_3 の値は乾燥砂の場合と同程度であるが、加振振動数が大きくなるにつれて少し小さくなり、水平方向の分布が一様に近くなることを示している。他方振動工圧あるいはそのヒンジモーメントは周波数特性を有すると言えられるので、振動数とモーメントの関係を示すのが図-4である。これによるとそれらの関係が実験により異なつてゐるが、一例ヒントを示しておく。これに関する実験を計画している。

以上地盤中に埋入された基礎底盤に働く地盤反力についての実験結果をみたが、これによるとバイリニア型に近い非線形特性を有すること、また何らかの周波数特性を有することがわかった。つづいてこれら得られたデータより、この非線形性を考慮して、この地盤反力係数を求める(なお文中あるのは図中の Case I, Case II に関する前報を参照のこと)。

3. 地盤反力係数 一般に地盤反力係数は地盤材料、構造物基礎の形状および大きさ、構造物基礎と地盤との剛性比等によって大きな影響を受け、その分布形状も種々の形をとるといわれている。しかしこの分布は砂地盤では三角形分布、粘土地盤では矩形分布に近いものになるともいわれているので、一般には図-5(c) に示されるような指数型で表わしうるものと考えられる。またある深さ迄における振動工圧-変位の関係は、変位の多項式の形で表わしうるものとすれば、構造物基礎の任意の深さに働く振動工圧は次式のように表わせよう。

$$p(z, \theta(t)) = K_3 \cdot f(\theta) \cdot z \quad \dots \dots \dots (1)$$

$$z = k$$

$$K_3 = K_0 (1 - \frac{z}{H})^n \quad \dots \dots \dots (2)$$

K_0 ; 基礎底部での地盤反力係数、 n ; 地盤反力係数 (a) 構造物基礎 (b) 作用する力 (c) 地盤反力係数の分布を表す形状指數、 $f(\theta)$; θ に因する多項式 **図-5 構造物基礎に働く力と地盤反力係数**
式 $\theta(t)$; 基礎体回転角、 z ; 構造物基礎の底面からの高さ、 H ; 構造物基礎の埋入深度。

上式(1)の K_3 は地盤反力係数を示す項であり、その分布形状は形状指數 n で決められる。たとえば $n=1$ のときは三角分布、 $n=0$ のときは矩形分布となる。つづいて $f(\theta)z$ は振動工圧の非線形部分を表す項である。すなわち $f(\theta)$ を θ に関する最小多項式の形式に置くことによって

$$f(\theta)z = \theta z (1 - \theta^{m-1} + a_2 \theta^{m-2} + a_3 \theta^{m-3} + \dots + a_m) \quad \dots \dots \dots (3)$$

となる。ここで a_2, a_3, \dots, a_m および m は最小自乗法などによって求められる定数である。また θ は基礎体回転角であり、時間 t の関数である。

いま図-5(a)に示すように構造物基礎底部をヒンジとして、その上端に強制変位を加えた場合(実験の Case I に相当する)を考える。まず振動工圧 p による水平方向の合力 P は次式となる。

$$P = B \int_0^H p(z) dz = BK_0 f(\theta) H^2 \frac{1}{(n+1)(n+2)} \quad \dots \dots \dots (4)$$

ここに B ; 構造物基礎の奥行きである。また振動工圧 p は $z=0$ 处(ヒンジ)きりのモーメント M_0 は

$$M_0 = B \int_0^H p(z) z dz = BK_0 f(\theta) H^3 \frac{2}{(n+1)(n+2)(n+3)} = d H_0 R \quad \dots \dots \dots (5)$$

となる。ここに α は振動土圧による奥きわりのモーメント M_o と頭部での加力 R によるモーメント $H_o R$ の比率である。さらに下見（構造物基礎の上端）まわりの振動土圧によるモーメント M_F は

$$M_F = B \int_0^H p(z) (H_o - z) dz = B K_o f(\theta) H^2 \frac{(n+3) H_o - 2H}{(n+1)(n+2)(n+3)} = H_o Q \quad \dots \dots \dots (6)$$

となる。式(5), (6)より地盤反力係数の形状指数 n は

$$n = \frac{Z(Q + \alpha R) H}{dR H_o} - 3 = \frac{2 P H}{\alpha R H_o} - 3 \quad \dots \dots \dots (7)$$

で与えられる。この式(7)の右辺の P （振動土圧合力）、 R （頭部での加力）、 α 、 H および H_o （構造物基礎の高さ）の各値はこれまで既知であるので、地盤反力係数の分布形状は容易に求められる。

つぎに式(4)に式(3)の $f(\theta)$ を代入すれば

$$P = A_1 \theta^m + A_2 \theta^{m-1} + A_3 \theta^{m-2} + \dots + A_m \quad \dots \dots \dots (8-a)$$

と表わせる。ここに

$$A_1 = B \frac{K_o H^2}{(n+1)(n+2)}, \quad A_i = B \frac{K_o H^2}{(n+1)(n+2)} \alpha_i \quad (i=2, 3, \dots, m) \quad \dots \dots \dots (8-b)$$

とあれば模型実験により得られる $P-\theta$ の測定値を用いて、最小自束法により式(8-a)の各係数 A_1, A_2, \dots, A_m を決定できるので、同式(b)により

$$K_o = A_1 (n+1)(n+2) / (B \cdot H^2) \quad \dots \dots \dots (9)$$

ところで、構造物基礎底部での地盤反力係数が求められる。

このように実験結果をもとにして、構造物基礎模型に働く地盤反力を、地盤反力係数と1つ評価することを試みた。つぎにこの地盤反力係数をいわゆる等価ばねに置換するシグマ質量になる。いま構造物基礎はその底部のヒンジまわりの回転運動のみを行なう場合を対象としているので、当然このばねは回転ばねとなり、そのばね係数 k_{fr} は次式のように表わされる。

$$k_{fr} = \frac{M_o}{\theta} = B \frac{f(\theta)}{\theta} K_o H^2 \frac{Z}{(n+1)(n+2)(n+3)} = \alpha \frac{M_F}{\theta} \quad \dots \dots \dots (10)$$

このばね係数は当然ながらずつずつ定数とはならず、 $f(\theta)$ と直接関係していふのがわかる。

また地盤反力は一般には履歴減衰を持つことはよく知られているとあります。しかしのばね係数 k_{fr} の中にはその履歴は含んでいません。したがってこれを用いて構造物基礎の振動挙動を解析すれば履歴減衰を無視したことになり正しい解析とは言えない。そこで本研究ではその履歴減衰を等価粘性減衰定数と1つ取り入れることにした。

4. 結果と考察 以上のようになって地盤反力係数等を求めた結果を以下に示すが、式(3)の $f(\theta)$ はバイリニア型であるとして各係数を求めた。

以下図-6に振動土圧モーメントと加力モーメントの比率 α と基礎体回転角 θ の関係を示した。これによると乾燥砂における場合と同様 K_o は $\theta=1$ において一定であることがわかる。ただし Case II の場合にはこの比率 α がかなり小さく、振動土圧モーメントが非常に小さくなる計算されている。以下の図においてはこの α を用いたことにした。

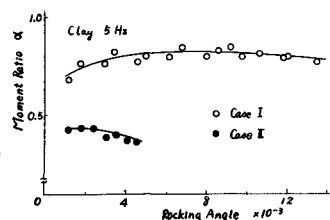


図-6 モーメント比

図-7 および図-8 は式(7)および式(9)より求めた地盤反力係数の形状指標れかおよび基礎模型底部での地盤反力係数 K_0 を得たものである。これらによると、 K_0 と基礎体回転角、加振振動数に対するほぼ一定値をもつていること、すなはち地盤反力係数はそれほどあまり関係なくほぼ一定の値および類似した分布を示していふことがわかる。しかし Case II の場合には形状指標れが振動数とともに大きくなっている。これについてはよくわからないが、モードの比率のが小さな値をもつたこととも関連しているようだ。この場合の計算が少しだけうまくやかなかつたのかかもしれない。またこのようにして得られた地盤反力係数の分布を図-9 に示した。これによると必ずしも矩形分布（深さ方向に一様）であるとはいえない、むしろ三角形分布に近い形状であることがわかる。また Case II の場合には図-7(b) で見たとおり低振動数では一様分布に近くなるといふ。さらに図-10 には式(1)より求めた振動土圧分布を示した。この振動土圧分布は実験結果と細部にわたって完全に一致しているとはいえないとしても、全体的にはかなり一致しているといふよう。

さてこのようにして得られた地盤反力係数の非線形性の効果をみるために、構造物基礎に働く抵抗力を回転ばねに置換したときのばね係数を式(10)より求めて示したのが図-11 である。これによると基礎体回転角が 4×10^{-3} 程度までによく非線形性が現われてあり、以後はほぼ定数となり線形となるといふことができる。こゝに図-11 に示した振動土圧の動向とよく類似しているといふよう。最後に図-12 は構造物基礎模型の拘束エーメントで図-11 より求めると同時に、減衰は別の実験結果より得られた履歴形状より等価粘性減衰係数を用いて、いかゆる slowly varying parameter method により求めた荷重曲線と、実験より得られた荷重曲線を示したものである。この計算に使用したパラメータは図中に記入してある。これによると両者は必ずしも完全に一致していないといえだが、計算結果は比較的よくその傾向を現わしているといふよう。すなはち本研究で求めたばね係数はかなり実験値を表わしているものといえる。

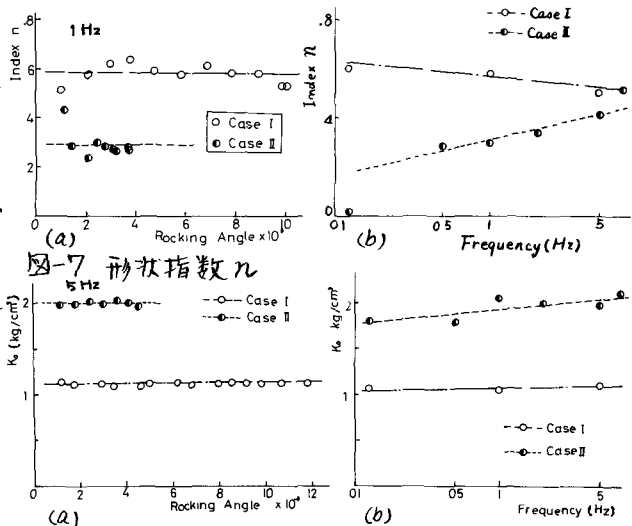


図-7 形状指標れ

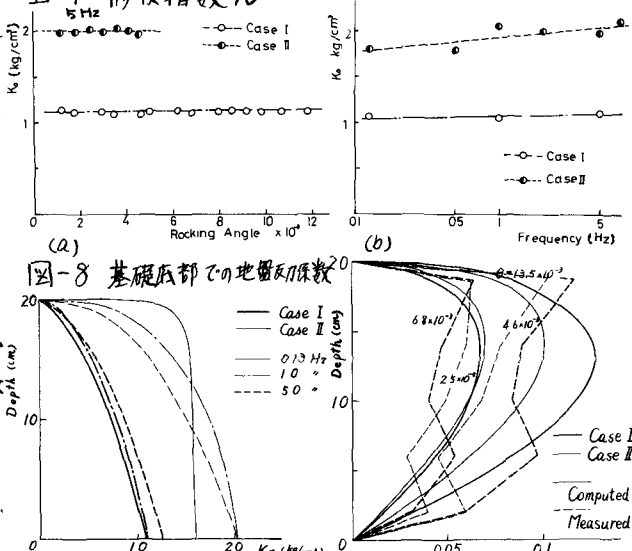


図-8 基礎底部での地盤反力係数

図-9 地盤反力係数分布

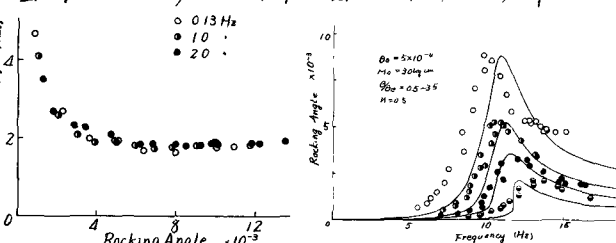


図-10 振動土圧分布

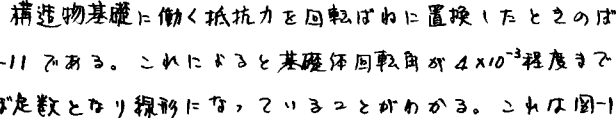


図-11 回転ばね係数

図-12 開放型応答曲線

このようにして求めたばね係数は構造物基礎に働く抵抗力を回転ばねに置換したときのばね係数を式(10)より求めて示したのが図-11 である。これによると基礎体回転角が 4×10^{-3} 程度までによく非線形性が現われてあり、以後はほぼ定数となり線形となるといふことができる。こゝに図-11 に示した振動土圧の動向とよく類似しているといふよう。最後に図-12 は構造物基礎模型の拘束エーメントで図-11 より求めると同時に、減衰は別の実験結果より得られた履歴形状より等価粘性減衰係数を用いて、いかゆる slowly varying parameter method により求めた荷重曲線と、実験より得られた荷重曲線を示したものである。この計算に使用したパラメータは図中に記入してある。これによると両者は必ずしも完全に一致していないといえだが、計算結果は比較的よくその傾向を現わしているといふよう。すなはち本研究で求めたばね係数はかなり実験値を表わしているものといえる。

1) 吉原道也清勝; 第3回日本地震工学シンポジウム(1970), IV-18, pp.611~618